

| DATA | REVISIONE |
|---------------|-----------------------------------|
| Dicembre 2022 | Valutazione di Impatto Ambientale |

IL TECNICO:
 Dott. Geol. Antonio Viggiano
 Dott. Geol. Mattia Lettieri

PROPONENTE:
 MYT EOLIO 1 S.R.L.
 Via Vecchia Ferrera 22
 36100 Vicenza
 RIVA: 04436470241
 PEC: myteol1en@pec.it

RENX ITALIA S.R.L.
 Via Vecchia Ferrera 22
 36100 Vicenza (VI)
 RIVA 04339940241
 PEC: renx-italia@pec.it

ELABORATO
R02.13
 scala 1:10.000

Legenda

Aerogeneratore

Elettrodotto

Stazione di accumulo

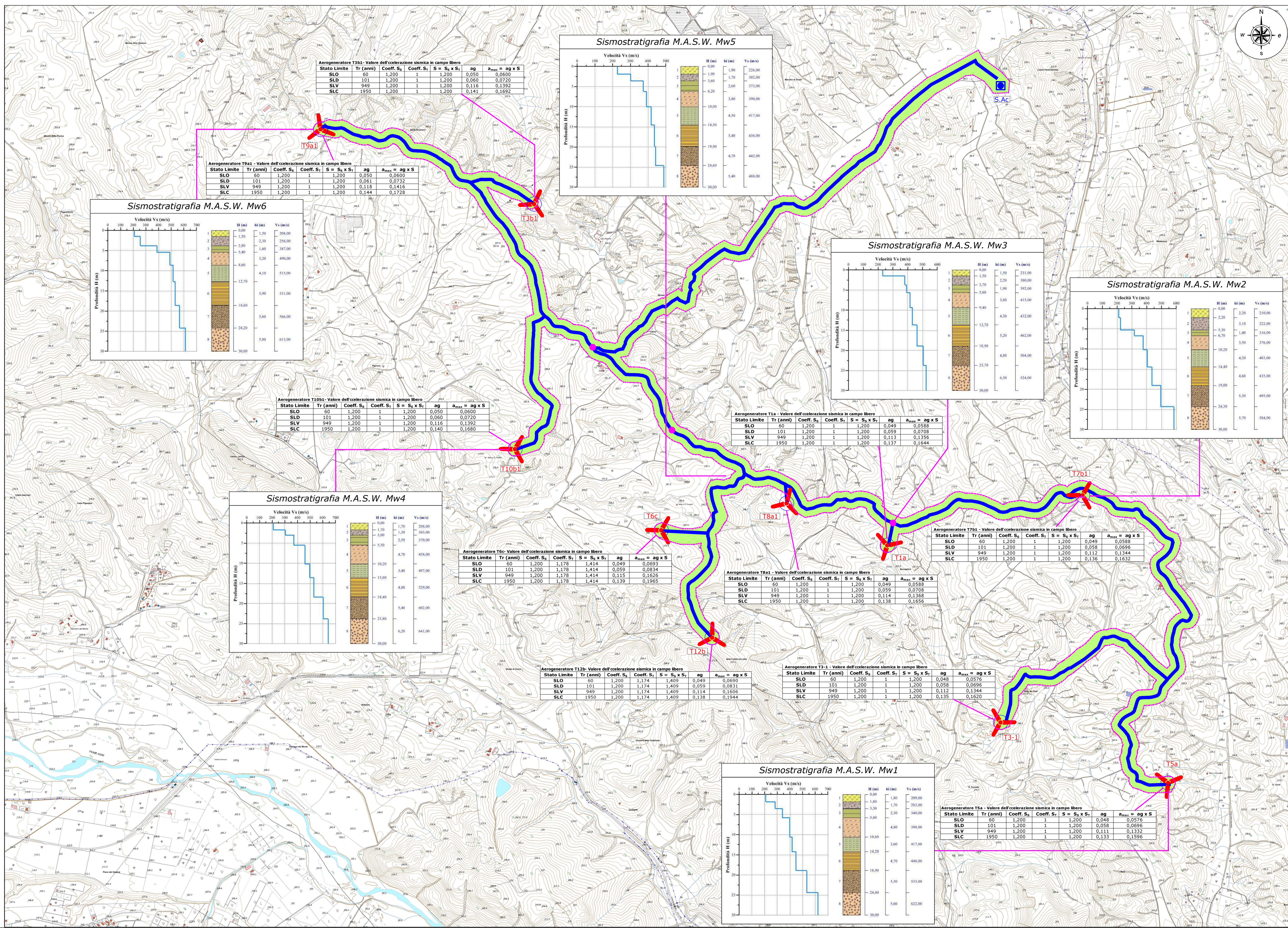
Cabine

| M.A.S.W. | V _s (m/s) | Sito investigato | Categoria di sottosuolo |
|----------|----------------------|----------------------|-------------------------|
| Mw 1 | 417,3 | Aerogeneratore T5a | B |
| Mw 2 | 376,88 | Aerogeneratore T7b1 | B |
| Mw 3 | 434,52 | Aerogeneratore T1a | B |
| Mw 4 | 468,46 | Aerogeneratore T10b1 | B |
| Mw 5 | 396,69 | Aerogeneratore T8a1 | B |
| Mw 6 | 459,5 | Aerogeneratore T9a1 | B |

Zone suscettibili di amplificazioni locali di tipo stratigrafico

Complesso litologico costituito prevalentemente da argille marnose azzurre o grigio verdi a frattura concorde.

B **Categoria di suolo B**
 Rocce tenere e depositi di terreni a grana grossa molto addensati o terreni a grana fina molto consistenti, caratterizzati da un miglioramento delle proprietà meccaniche con la profondità e da valori di velocità equivalente compresi tra 360 m/s e 800 m/s.

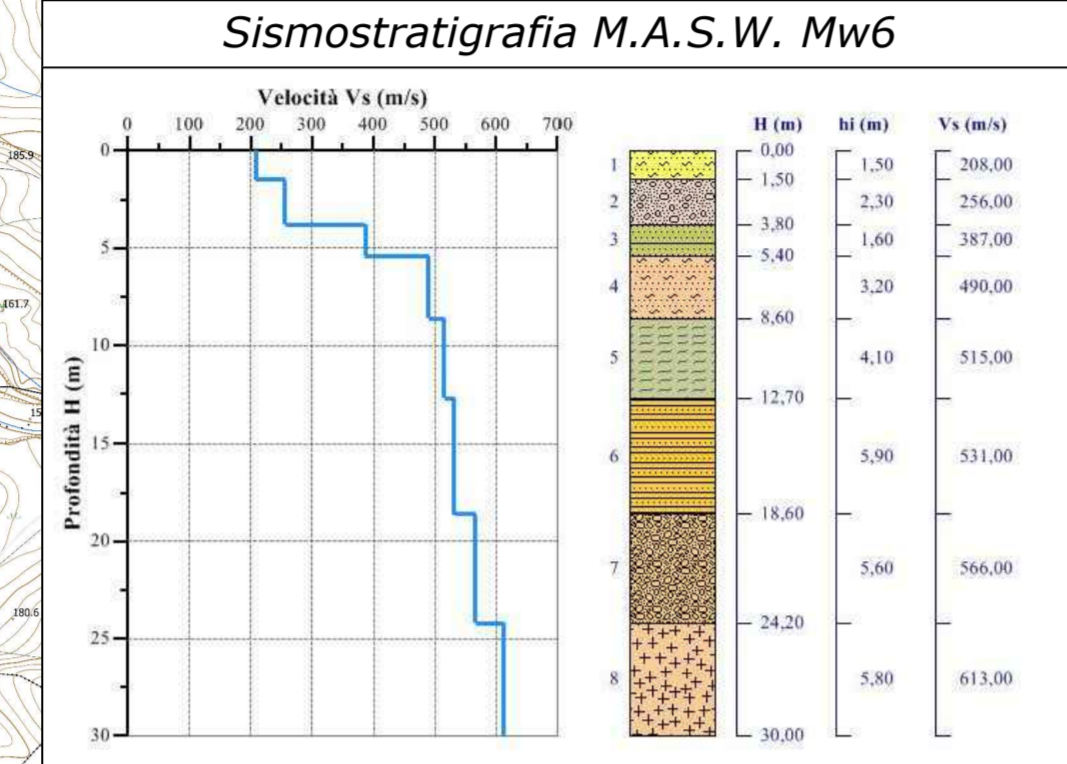


Aerogeneratore T3b1 - Valore dell'accelerazione sismica in campo libero

| Stato Limite | Tr (anni) | Coeff. S _g | Coeff. S _r | S = S _g x S _r | ag | a _{max} = ag x S |
|--------------|-----------|-----------------------|-----------------------|-------------------------------------|-------|---------------------------|
| SLO | 60 | 1,200 | 1 | 1,200 | 0,050 | 0,0600 |
| SLD | 101 | 1,200 | 1 | 1,200 | 0,060 | 0,0720 |
| SLV | 949 | 1,200 | 1 | 1,200 | 0,116 | 0,1392 |
| SLC | 1950 | 1,200 | 1 | 1,200 | 0,141 | 0,1692 |

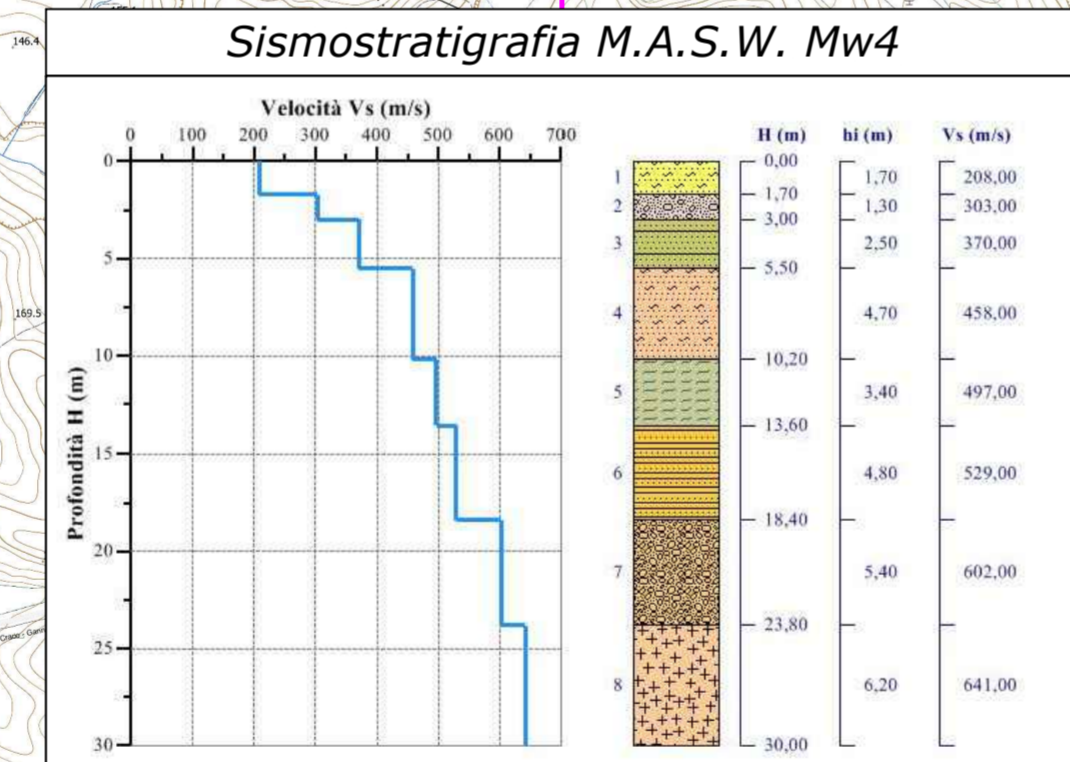
Aerogeneratore T9a1 - Valore dell'accelerazione sismica in campo libero

| Stato Limite | Tr (anni) | Coeff. S _g | Coeff. S _r | S = S _g x S _r | ag | a _{max} = ag x S |
|--------------|-----------|-----------------------|-----------------------|-------------------------------------|-------|---------------------------|
| SLO | 60 | 1,200 | 1 | 1,200 | 0,050 | 0,0600 |
| SLD | 101 | 1,200 | 1 | 1,200 | 0,060 | 0,0720 |
| SLV | 949 | 1,200 | 1 | 1,200 | 0,118 | 0,1416 |
| SLC | 1950 | 1,200 | 1 | 1,200 | 0,144 | 0,1728 |



Aerogeneratore T10b1 - Valore dell'accelerazione sismica in campo libero

| Stato Limite | Tr (anni) | Coeff. S _g | Coeff. S _r | S = S _g x S _r | ag | a _{max} = ag x S |
|--------------|-----------|-----------------------|-----------------------|-------------------------------------|-------|---------------------------|
| SLO | 60 | 1,200 | 1 | 1,200 | 0,050 | 0,0600 |
| SLD | 101 | 1,200 | 1 | 1,200 | 0,050 | 0,0720 |
| SLV | 949 | 1,200 | 1 | 1,200 | 0,116 | 0,1392 |
| SLC | 1950 | 1,200 | 1 | 1,200 | 0,140 | 0,1680 |

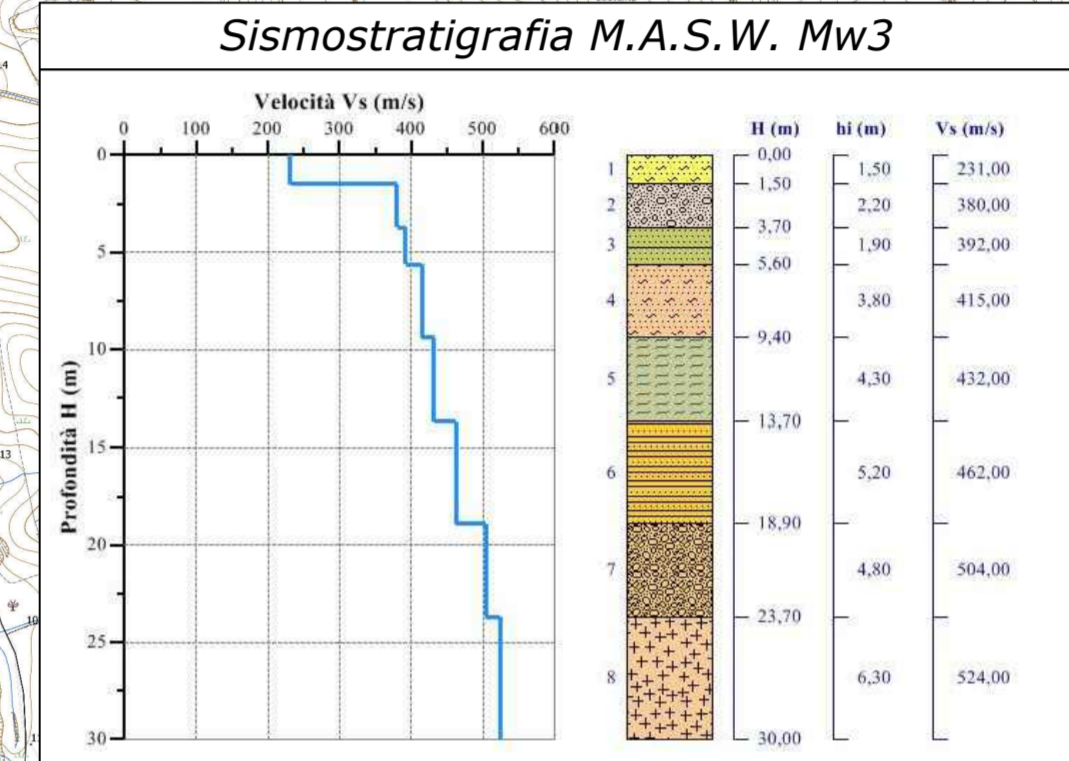


Aerogeneratore T6c - Valore dell'accelerazione sismica in campo libero

| Stato Limite | Tr (anni) | Coeff. S _g | Coeff. S _r | S = S _g x S _r | ag | a _{max} = ag x S |
|--------------|-----------|-----------------------|-----------------------|-------------------------------------|-------|---------------------------|
| SLO | 60 | 1,200 | 1,178 | 1,414 | 0,049 | 0,0693 |
| SLD | 101 | 1,200 | 1,178 | 1,414 | 0,059 | 0,0834 |
| SLV | 949 | 1,200 | 1,178 | 1,414 | 0,115 | 0,1626 |
| SLC | 1950 | 1,200 | 1,178 | 1,414 | 0,139 | 0,1965 |

Aerogeneratore T1a - Valore dell'accelerazione sismica in campo libero

| Stato Limite | Tr (anni) | Coeff. S _g | Coeff. S _r | S = S _g x S _r | ag | a _{max} = ag x S |
|--------------|-----------|-----------------------|-----------------------|-------------------------------------|-------|---------------------------|
| SLO | 60 | 1,200 | 1 | 1,200 | 0,049 | 0,0588 |
| SLD | 101 | 1,200 | 1 | 1,200 | 0,059 | 0,0708 |
| SLV | 949 | 1,200 | 1 | 1,200 | 0,113 | 0,1356 |
| SLC | 1950 | 1,200 | 1 | 1,200 | 0,137 | 0,1644 |



Aerogeneratore T8a1 - Valore dell'accelerazione sismica in campo libero

| Stato Limite | Tr (anni) | Coeff. S _g | Coeff. S _r | S = S _g x S _r | ag | a _{max} = ag x S |
|--------------|-----------|-----------------------|-----------------------|-------------------------------------|-------|---------------------------|
| SLO | 60 | 1,200 | 1 | 1,200 | 0,049 | 0,0588 |
| SLD | 101 | 1,200 | 1 | 1,200 | 0,059 | 0,0708 |
| SLV | 949 | 1,200 | 1 | 1,200 | 0,114 | 0,1368 |
| SLC | 1950 | 1,200 | 1 | 1,200 | 0,138 | 0,1656 |

Aerogeneratore T7b1 - Valore dell'accelerazione sismica in campo libero

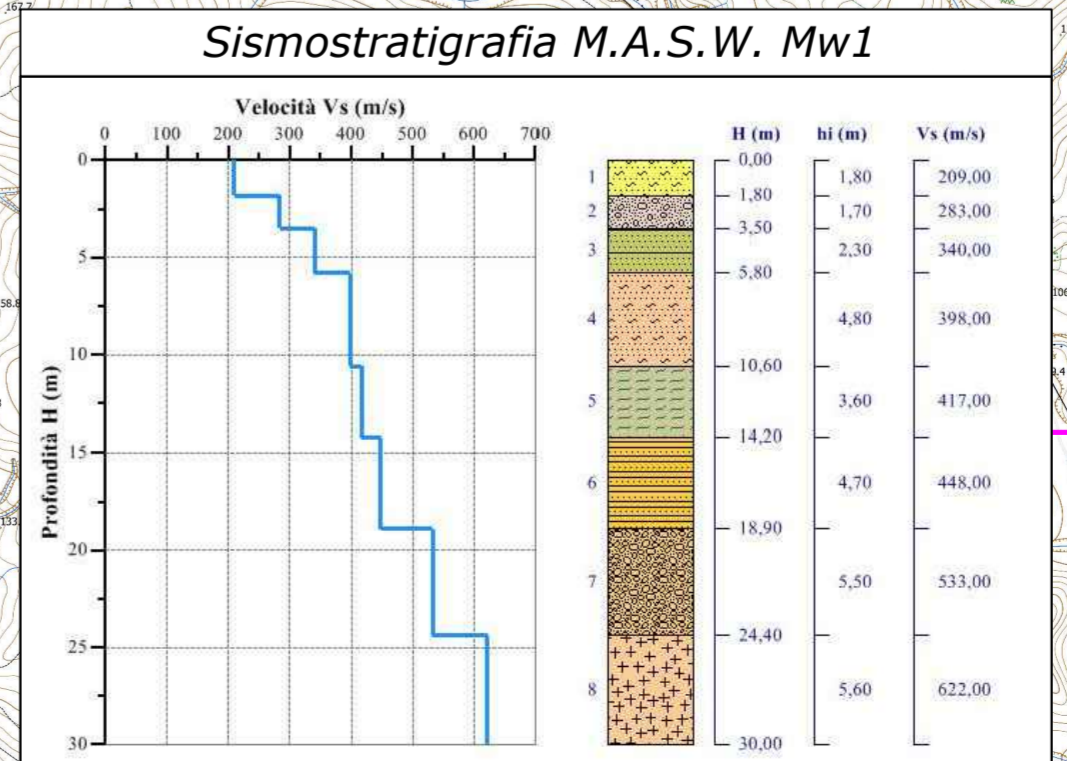
| Stato Limite | Tr (anni) | Coeff. S _g | Coeff. S _r | S = S _g x S _r | ag | a _{max} = ag x S |
|--------------|-----------|-----------------------|-----------------------|-------------------------------------|-------|---------------------------|
| SLO | 60 | 1,200 | 1 | 1,200 | 0,049 | 0,0588 |
| SLD | 101 | 1,200 | 1 | 1,200 | 0,058 | 0,0696 |
| SLV | 949 | 1,200 | 1 | 1,200 | 0,112 | 0,1344 |
| SLC | 1950 | 1,200 | 1 | 1,200 | 0,136 | 0,1632 |

Aerogeneratore T12b - Valore dell'accelerazione sismica in campo libero

| Stato Limite | Tr (anni) | Coeff. S _g | Coeff. S _r | S = S _g x S _r | ag | a _{max} = ag x S |
|--------------|-----------|-----------------------|-----------------------|-------------------------------------|-------|---------------------------|
| SLO | 60 | 1,200 | 1,174 | 1,409 | 0,049 | 0,0690 |
| SLD | 101 | 1,200 | 1,174 | 1,409 | 0,059 | 0,0831 |
| SLV | 949 | 1,200 | 1,174 | 1,409 | 0,114 | 0,1606 |
| SLC | 1950 | 1,200 | 1,174 | 1,409 | 0,138 | 0,1944 |

Aerogeneratore T3-1 - Valore dell'accelerazione sismica in campo libero

| Stato Limite | Tr (anni) | Coeff. S _g | Coeff. S _r | S = S _g x S _r | ag | a _{max} = ag x S |
|--------------|-----------|-----------------------|-----------------------|-------------------------------------|-------|---------------------------|
| SLO | 60 | 1,200 | 1 | 1,200 | 0,048 | 0,0576 |
| SLD | 101 | 1,200 | 1 | 1,200 | 0,058 | 0,0696 |
| SLV | 949 | 1,200 | 1 | 1,200 | 0,112 | 0,1344 |
| SLC | 1950 | 1,200 | 1 | 1,200 | 0,135 | 0,1620 |



Aerogeneratore T5a - Valore dell'accelerazione sismica in campo libero

| Stato Limite | Tr (anni) | Coeff. S _g | Coeff. S _r | S = S _g x S _r | ag | a _{max} = ag x S |
|--------------|-----------|-----------------------|-----------------------|-------------------------------------|-------|---------------------------|
| SLO | 60 | 1,200 | 1 | 1,200 | 0,048 | 0,0576 |
| SLD | 101 | 1,200 | 1 | 1,200 | 0,058 | 0,0696 |
| SLV | 949 | 1,200 | 1 | 1,200 | 0,111 | 0,1332 |
| SLC | 1950 | 1,200 | 1 | 1,200 | 0,133 | 0,1596 |